

1. Seja o problema transiente-difusivo-reactivo não linear:

$$\frac{\partial u}{\partial t} - \frac{\partial^2 u}{\partial x^2} - \frac{8}{\delta^2} u^2(1-u) = 0, \quad (x, t) \in [a, b] \times [0, T] \quad (1)$$

$$u(a, t) = 1 \quad \text{e} \quad u(b, t) = 0. \quad (2)$$

$$u(x, 0) = \varphi(x). \quad (3)$$

A solução exata para este problema é dada por:

$$u(x, t) = \frac{1}{2} \left[1 - \tanh \left(\frac{x - 2t/\delta}{\delta} \right) \right]. \quad (4)$$

Supondo o domínio $x \in [-10, 90]$, o tempo final $T = 4$ e velocidade da frente de onda $\delta = 2$, a condição inicial (3) é dada por:

$$\varphi(x) = \frac{1}{2} \left[1 - \tanh \left(\frac{x}{2} \right) \right]. \quad (5)$$

- Proponha uma discretização implícita de primeira ordem no tempo e segunda ordem no espaço $\mathcal{O}(\Delta t, h^2)$ para o problema acima.
- Proponha uma discretização de segunda ordem no tempo e no espaço $\mathcal{O}(\Delta t^2, h^2)$ para o problema acima.
- Apresente gráficos comparando a solução exata com a aproximada, utilizando os métodos desenvolvidos nos itens (a) e (b), para diferentes valores de h no tempo final $T = 4$.
- Apresente um estudo de convergência na norma do máximo utilizando malhas de 500, 1000, 2000, 4000 e 8000 elementos no tempo final $T = 4$. Para o método proposto no item (a) utilize $\Delta t = h$ e $\Delta t = h^2$ e para o método proposto no item (b) utilize $\Delta t = h$. Em um único gráfico compare os três resultados e comente.

2. Seja a equação diferencial parcial

$$\frac{\partial u}{\partial t} + \kappa \frac{\partial u}{\partial x} = 0, \quad (x, t) \in \Omega \times [0, T], \quad (6)$$

com $\kappa > 0$ suplementada por condições inicial e de contorno. Considere a seguinte discretização para este problema

$$\frac{u_j^{n+1} - u_j^n}{\Delta t} + \kappa \frac{u_{j+1}^{n+1} - u_{j-1}^{n+1}}{2h} = 0, \quad \text{FTCS Implícito} \quad (7)$$

- Análise a estabilidade da metodologias (9) utilizando o critério de Von Neumann.
- Escolha um dos problemas apresentados em aula ou da literatura e gere resultados comparando o método (9) adotando 400 elementos com a solução exata.
- inclua na comparação do item (b) os métodos upwind explícito e Lax Friedrichs adotando 400 elementos e $\Delta t = 1.1h$ e $\Delta t = h/2$. Comente os resultados.

3. Seja o problema:

$$\frac{\partial u}{\partial t} - \varepsilon \frac{\partial^2 u}{\partial x^2} + \kappa \frac{\partial u}{\partial x} = 0, \quad (x, t) \in \Omega \times [0, T], \quad (8)$$

cuja solução exata é dada por:

$$u(x, t) = \exp(-\varepsilon t) \sin(x - \kappa t)$$

- a) Proponha um método upwind implícito para o problema (8) e compare graficamente a solução exata com a aproximada para $\Delta t = h$ e $\Delta t = h^2$, escolhendo diferentes valores de h .
- b) Proponha um método implícito de primeira ordem no tempo e segunda ordem no espaço para o problema (8) e compare graficamente a solução exata com a aproximada para $\Delta t = h$ e $\Delta t = h^2$, escolhendo diferentes valores de h .
- c) mostre graficamente que a ordem de convergência do método proposto está de acordo com o esperado $O(\Delta t, h^2, h)$ para o item (a) e $O(\Delta t, h^2, h^2)$ para o item (b). Faça esse estudo para $\Delta t = h$ e $\Delta t = h^2$.

Resolução:

Questão 1:

a)

Problema modelo: Difusão Transiente

$$\frac{\partial u}{\partial t} - \varepsilon \frac{\partial^2 u}{\partial x^2} - \frac{8}{\delta^2} u^2 + \frac{8}{\delta^2} u^3 = 0$$

$$\frac{\partial u}{\partial t} - \varepsilon \frac{\partial^2 u}{\partial x^2} = \frac{8}{\delta^2} u^2 - \frac{8}{\delta^2} u^3$$

Discretização $\mathcal{O}(\Delta t, h^2)$ (Implícita):

$$\frac{u_j^{n+1} - u_j^n}{\Delta t} - \frac{\varepsilon}{h^2} (u_{j+1}^{n+1} - 2u_j^{n+1} + u_{j-1}^{n+1}) = \frac{8}{\delta^2} u_j^{n2} - \frac{8}{\delta^2} u_j^{n3}$$

$$u_j^{n+1} - \sigma (u_{j+1}^{n+1} - 2u_j^{n+1} + u_{j-1}^{n+1}) = u_j^n + \Delta t \left(\frac{8}{\delta^2} u_j^{2n} - \frac{8}{\delta^2} u_j^{3n} \right), \quad \sigma = \frac{\varepsilon \Delta t}{h^2}$$

b)

Discretização $\mathcal{O}(\Delta t^2, h^2)$ (Crank-Nicolson):

$$\frac{u_j^{n+1} - u_j^n}{\Delta t} - \frac{\varepsilon}{2h^2} (u_{j+1}^{n+1} - 2u_j^{n+1} + u_{j-1}^{n+1}) = \frac{\varepsilon}{2h^2} (u_{j+1}^n - 2u_j^n + u_{j-1}^n) + \frac{8}{\delta^2} u_j^{n2} - \frac{8}{\delta^2} u_j^{n3}$$

$$u_j^{n+1} - \frac{\sigma}{2} (u_{j+1}^{n+1} - 2u_j^{n+1} + u_{j-1}^{n+1}) = u_j^n + \frac{\sigma}{2} (u_{j+1}^n - 2u_j^n + u_{j-1}^n) + \Delta t \left(\frac{8}{\delta^2} u_j^{2n} - \frac{8}{\delta^2} u_j^{3n} \right), \quad \sigma = \frac{\varepsilon \Delta t}{h^2}$$

c)

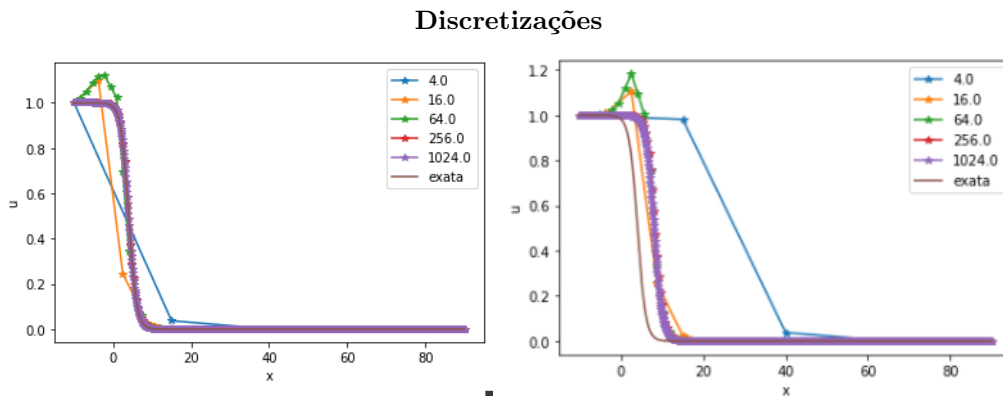


Figura 1: Discretização Implícita e Crank-Nicolson para 4,16,64,256 e 1024 elementos

d)

Podemos notar que o método implícito converge com taxa ótima, porém a discretização por Crank-Nicolson não converge para a solução esperada, mesmo permanecendo próxima

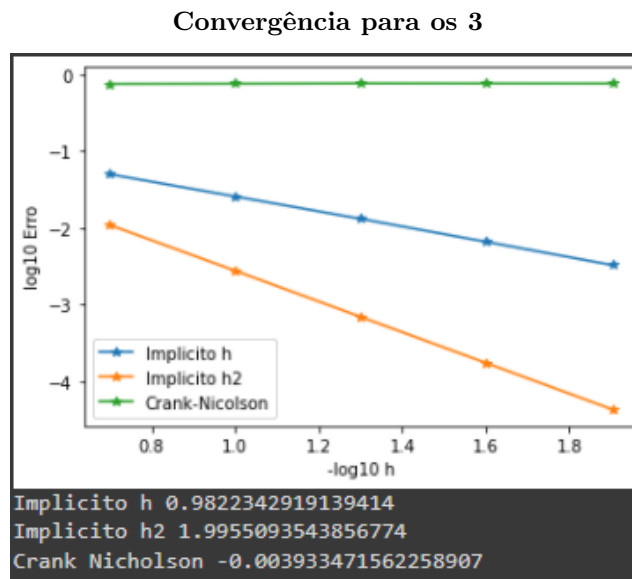


Figura 2: Taxas de convergência para 500,1000,2000,4000,8000 elementos

Convergência $\Delta t = h$ Implícito

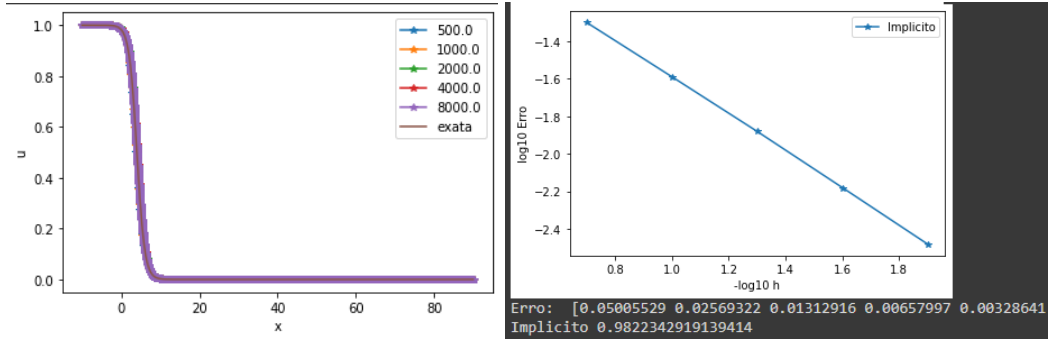


Figura 3: Discretização Implícita e sua taxa de convergência para 500,1000,2000,4000,8000 elementos

Convergência $\Delta t = h^2$ Implícito

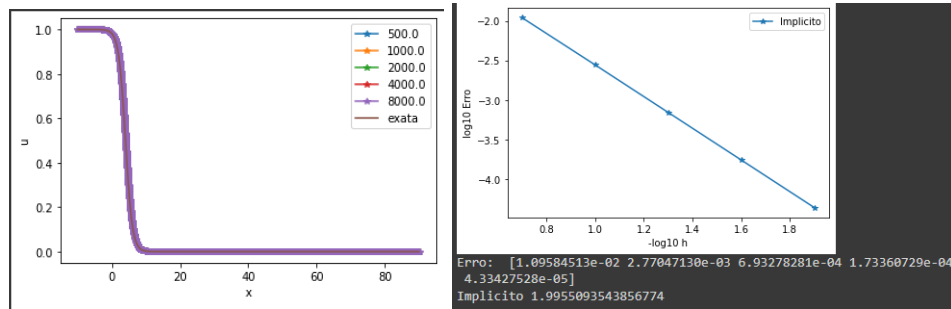


Figura 4: Discretização Implícita e sua taxa de convergência para 500,1000,2000,4000,8000 elementos

Convergência $\Delta t = h$ Crank-Nicolson

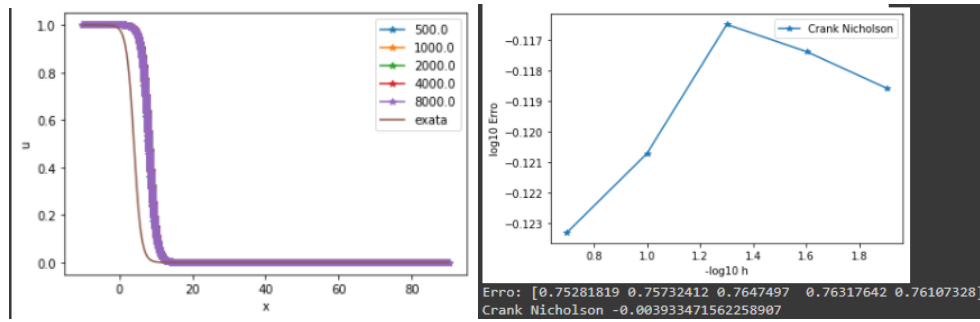


Figura 5: Discretização Crank-Nicolson e sua taxa de convergência para 500,1000,2000,4000,8000 elementos

Questão 2:

a)

Estabilidade de Von Neumann; Por se tratar de uma metodologia implícita, o esperado é que seja incondicionalmente estável, ou com condições de restrição menores de que a versão explícita do método, para isso verificamos:

$$\frac{u_j^{n+1} - u_j^n}{\Delta t} + \kappa \frac{u_{j+1}^{n+1} - u_{j-1}^{n+1}}{2h} = 0, \quad \text{FTCS Implícito} \quad (9)$$

$$u_j^{n+1} + \frac{\rho}{2}(u_{j+1}^{n+1} - u_{j-1}^{n+1}) = u_j^n, \quad \rho = \frac{\kappa \Delta t}{h}$$

Substituindo:

$$u_j^n = \lambda^n e^{ij\omega h}$$

Temos:

$$\lambda^{n+1} e^{ij\omega h} + \frac{\rho}{2}(\lambda^{n+1} e^{i(j+1)\omega h} - \lambda^{n+1} e^{i(j-1)\omega h}) = \lambda^n e^{ij\omega h}, \quad \rho = \frac{\kappa \Delta t}{h}$$

Dividindo por:

$$u_j^n = \lambda^n e^{ij\omega h}$$

Temos:

$$\begin{aligned} \lambda + \frac{\rho}{2}(\lambda e^{i\omega h} - \lambda e^{-i\omega h}) &= 1, \quad \rho = \frac{\kappa \Delta t}{h} \\ \lambda + \frac{\rho}{2}\lambda(e^{i\omega h} - e^{-i\omega h}) &= 1, \quad \rho = \frac{\kappa \Delta t}{h} \end{aligned}$$

Como:

$$2i \operatorname{sen}(\omega h) = e^{i\omega h} - e^{-i\omega h}$$

Vem:

$$\lambda + \frac{\rho}{2}\lambda(2i \operatorname{sen}(\omega h)) = 1, \quad \rho = \frac{\kappa \Delta t}{h}$$

Daí:

$$\begin{aligned} \lambda^2 + \rho \lambda^2 (\operatorname{sen}^2(\omega h)) &= 1 \\ \lambda^2 (1 + \rho \operatorname{sen}^2(\omega h)) &= 1 \\ \lambda^2 &= \frac{1}{1 + \rho \operatorname{sen}^2(\omega h)} \end{aligned}$$

Para estabilidade:

$$|\lambda| < 1$$

Como:

$$\begin{aligned} 1 + \rho \operatorname{sen}^2(\omega h) &\geq 1 \\ \frac{1}{1 + \rho \operatorname{sen}^2(\omega h)} &\leq 1 \end{aligned}$$

Logo:

$$\begin{aligned} \lambda^2 &\leq 1 \\ \lambda &\leq 1 \end{aligned}$$

b)

$$\Delta t = \frac{h}{2}$$

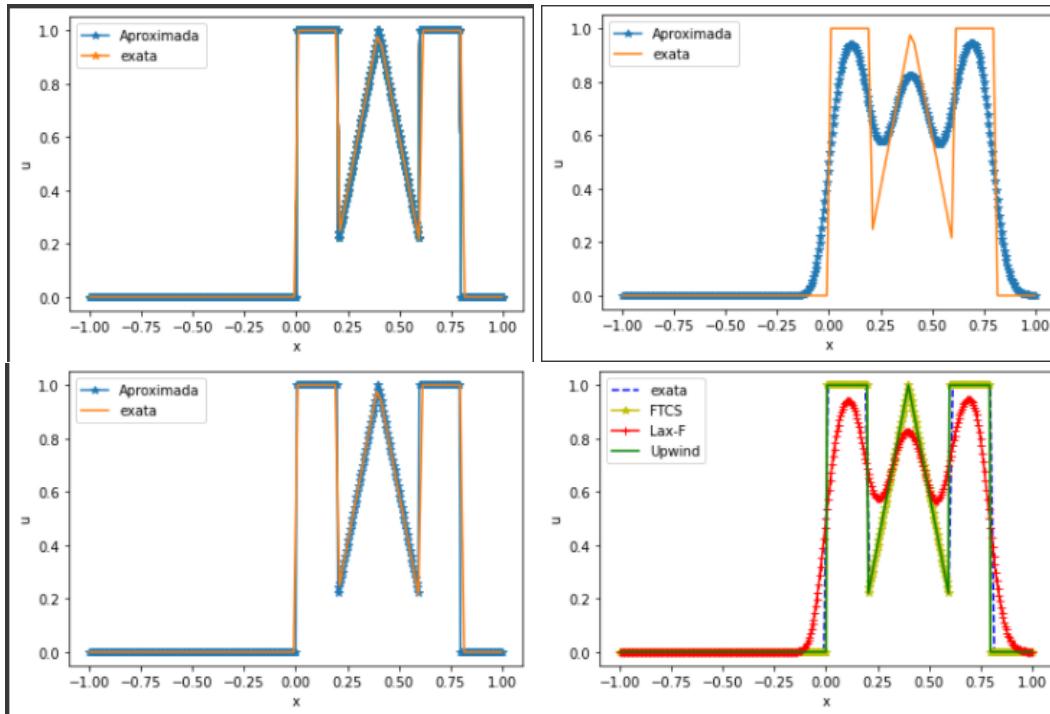


Figura 6: Métodos FTCS Implícito, Lax Friedrichs e Upwind Explícito para 400 elementos e $\Delta t = \frac{h}{2}$

c)

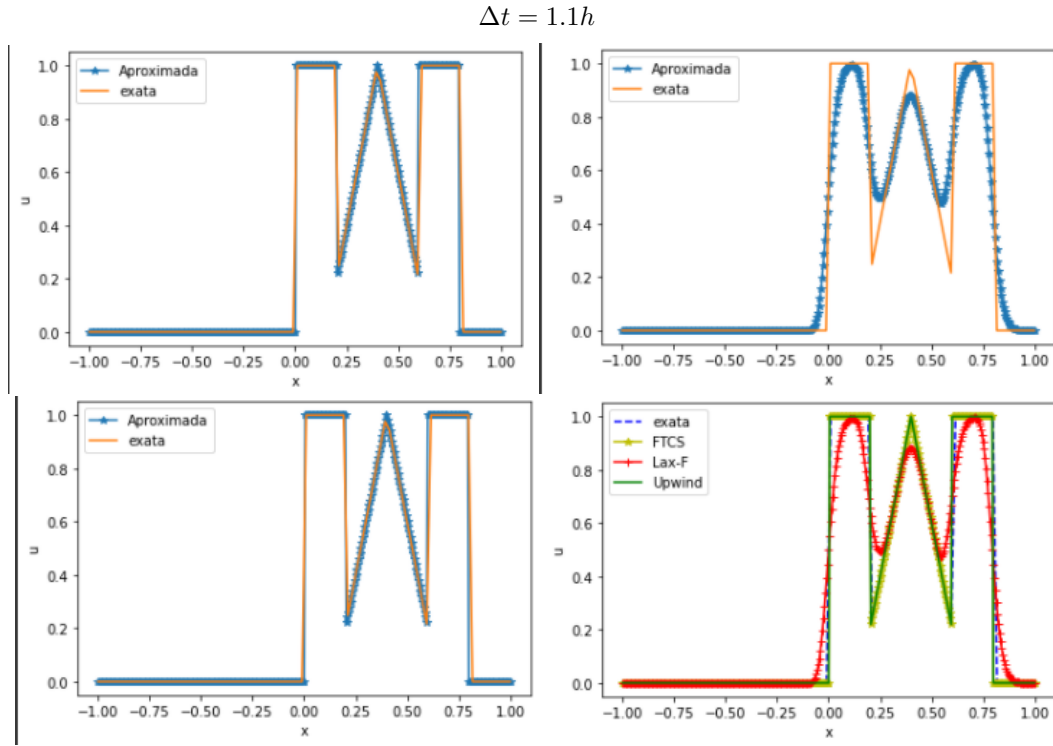


Figura 7: Métodos FTCS Implícito, Lax Friedrichs e Upwind Explícito para 400 elementos e $\Delta t = 1.1h$

Questão 3:

a)

Problema modelo: Difusão-Convecção Transiente

$$\frac{du}{dt} - \varepsilon \frac{d^2u}{dx^2} + \frac{du}{dx} = 0$$

Discretização $\mathcal{O}(\Delta t, h^2, h)$ (Upwind Implícita):

$$\frac{u_j^{n+1} - u_j^n}{\Delta t} - \varepsilon \frac{u_{j+1}^{n+1} - 2u_j^{n+1} + u_{j-1}^{n+1}}{h^2} + \frac{u_j^{n+1} - u_{j-1}^{n+1}}{h} = 0$$

$$u_j^{n+1} - \sigma(u_{j+1}^{n+1} - 2u_j^{n+1} + u_{j-1}^{n+1}) + \rho(u_j^{n+1} - u_{j-1}^{n+1}) = u_j^n, \quad \sigma = \frac{\varepsilon \Delta t}{h^2} \quad \rho = \frac{\Delta t}{h}$$

$$-\sigma(u_{j+1}^{n+1}) + (1 + 2\sigma + \rho)u_j^{n+1} - (\sigma + \rho)u_{j-1}^{n+1} = u_j^n \quad \sigma = \frac{\varepsilon \Delta t}{h^2} \quad \rho = \frac{\Delta t}{h}$$

Comparação $\Delta t = h$ Upwind Implícito

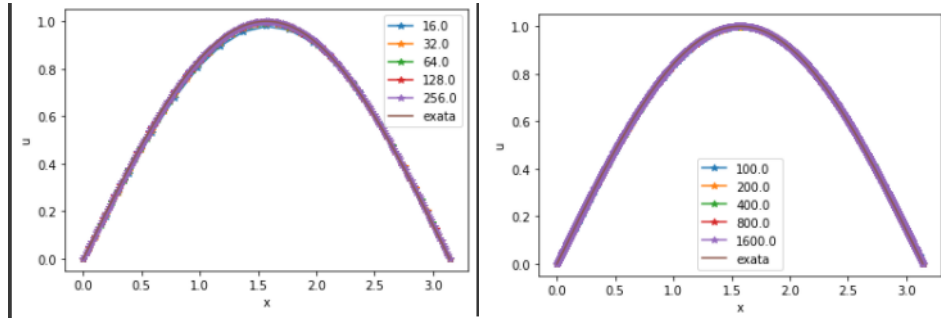


Figura 8: Discretização Upwind Implícita para 16,32,64,128,256 e 100,200,400,800,1600 elementos

Comparação $\Delta t = h^2$ Upwind Implícito

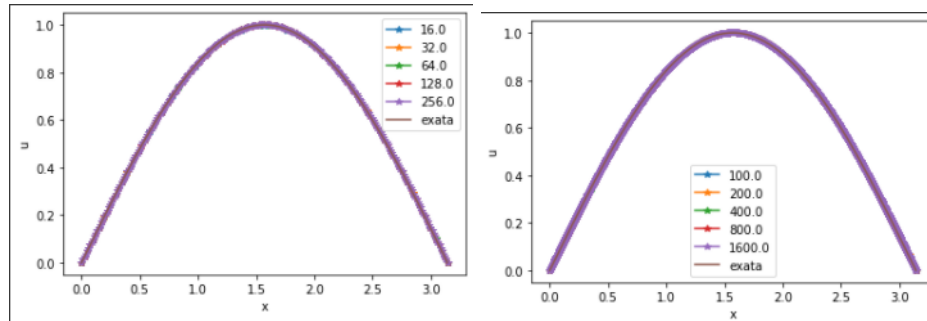


Figura 9: Discretização Upwind Implícita para 16,32,64,128,256 e 100,200,400,800,1600 elementos

b)

Discretização $\mathcal{O}(\Delta t, h^2, h^2)$ (Crank-Nicholson):

$$\frac{u_j^{n+1} - u_j^n}{\Delta t} + \frac{1}{2} \left(-\varepsilon \frac{u_{j+1}^{n+1} - 2u_j^{n+1} + u_{j-1}^{n+1}}{h^2} - \varepsilon \frac{u_{j+1}^n - 2u_j^n + u_{j-1}^n}{h^2} + \frac{u_{j+1}^{n+1} - u_{j-1}^{n+1}}{2h} + \frac{u_{j+1}^n - u_{j-1}^n}{2h} \right) = 0$$

$$u_j^{n+1} - u_j^n + \frac{1}{2} \left(-\varepsilon \Delta t \frac{u_{j+1}^{n+1} - 2u_j^{n+1} + u_{j-1}^{n+1}}{h^2} - \varepsilon \Delta t \frac{u_{j+1}^n - 2u_j^n + u_{j-1}^n}{h^2} + \Delta t \frac{u_{j+1}^{n+1} - u_{j-1}^{n+1}}{2h} + \Delta t \frac{u_{j+1}^n - u_{j-1}^n}{2h} \right) = 0$$

$$u_j^{n+1} + \left(-\frac{\sigma}{2} (u_{j+1}^{n+1} - 2u_j^{n+1} + u_{j-1}^{n+1}) - \frac{\sigma}{2} (u_{j+1}^n - 2u_j^n + u_{j-1}^n) + \frac{\rho}{4} (u_{j+1}^{n+1} - u_{j-1}^{n+1}) + \frac{\rho}{4} (u_{j+1}^n - u_{j-1}^n) \right) = u_j^n, \quad \sigma = \frac{\varepsilon \Delta t}{h^2}, \quad \rho = \frac{\Delta t}{h}$$

$$u_j^{n+1} - \frac{\sigma}{2} (u_{j+1}^{n+1} - 2u_j^{n+1} + u_{j-1}^{n+1}) + \frac{\rho}{4} (u_{j+1}^{n+1} - u_{j-1}^{n+1}) = u_j^n + \frac{\sigma}{2} (u_{j+1}^n - 2u_j^n + u_{j-1}^n) - \frac{\rho}{4} (u_{j+1}^n - u_{j-1}^n), \quad \sigma = \frac{\varepsilon \Delta t}{h^2} \quad \rho = \frac{\Delta t}{h}$$

$$\left(-\frac{\sigma}{2} + \frac{\rho}{4} \right) u_{j+1}^{n+1} + (1 + 2\frac{\sigma}{2}) u_j^{n+1} + \left(-\frac{\sigma}{2} - \frac{\rho}{4} \right) u_{j-1}^{n+1} = \left(\frac{\sigma}{2} - \frac{\rho}{4} \right) u_{j+1}^n + (1 - 2\frac{\sigma}{2}) u_j^n + \left(\frac{\sigma}{2} + \frac{\rho}{4} \right) u_{j-1}^n, \quad \sigma = \frac{\varepsilon \Delta t}{h^2} \quad \rho = \frac{\Delta t}{h}$$

Comparação $\Delta t = h$ Crank-Nicolson

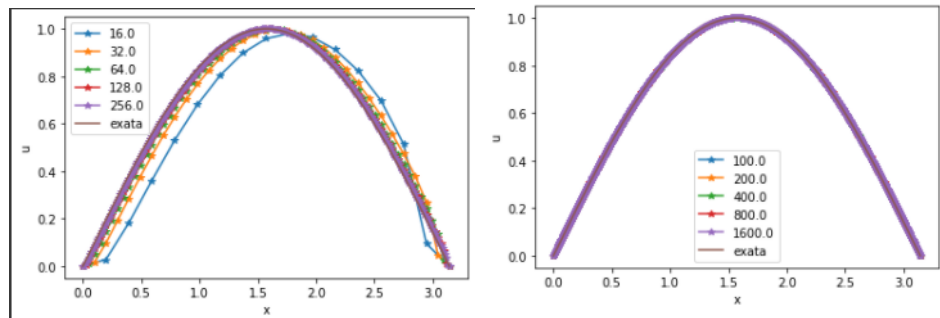


Figura 10: Discretização Crank-Nicolson para 16,32,64,128,256 e 100,200,400,800,1600 elementos

Comparação $\Delta t = h^2$ Crank-Nicolson

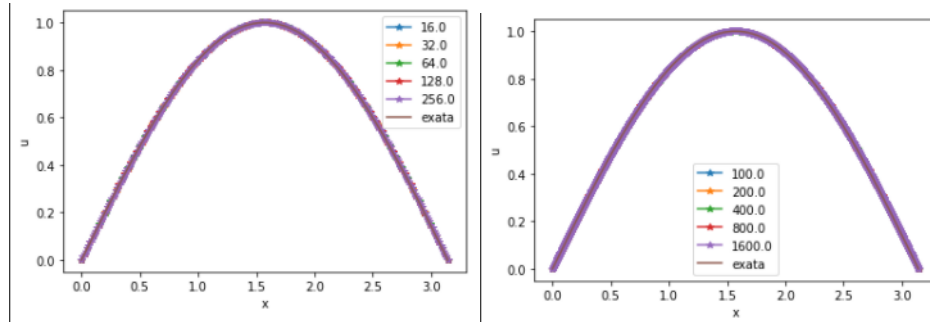


Figura 11: Discretização Crank-Nicolson para 16,32,64,128,256 e 100,200,400,800,1600 elementos

c)

Convergência $\Delta t = h$ Upwind Implícito

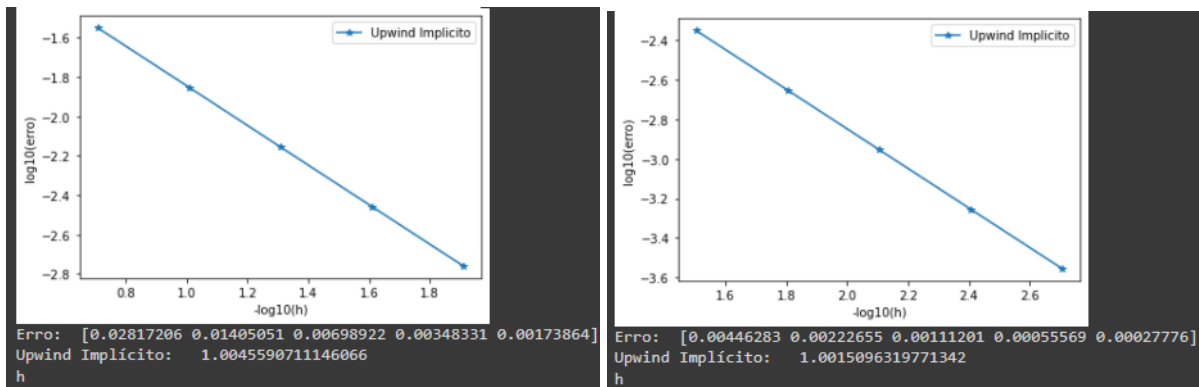


Figura 12: Discretização Upwind Implícita para 16,32,64,128,256 e 100,200,400,800,1600 elementos

Convergência $\Delta t = h^2$ Upwind Implícito

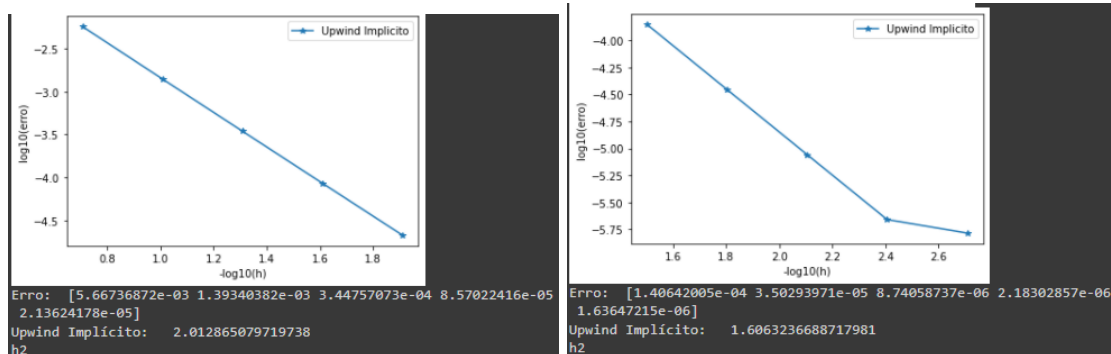


Figura 13: Discretização Upwind Implícita para 16,32,64,128,256 e 100,200,400,800,1600 elementos

Convergência $\Delta t = h$ Crank-Nicolson

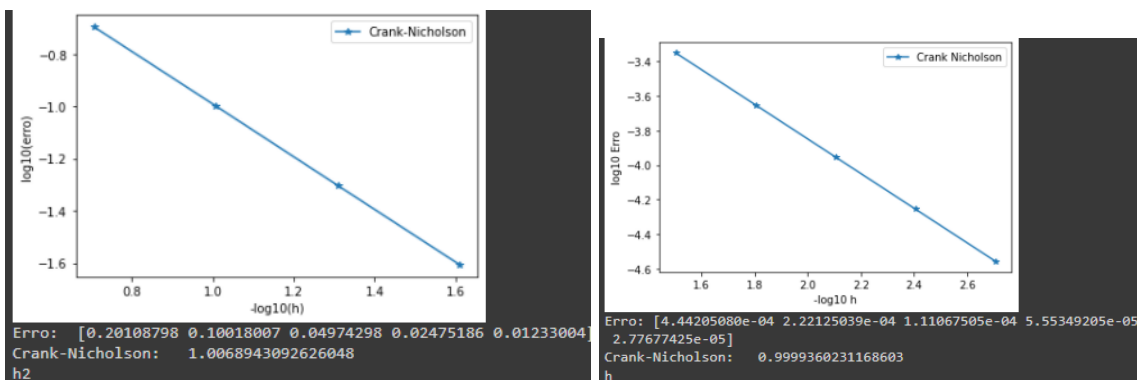


Figura 14: Discretização Crank-Nicolson para 16,32,64,128,256 e 100,200,400,800,1600 elementos

Convergência $\Delta t = h^2$ Crank-Nicolson

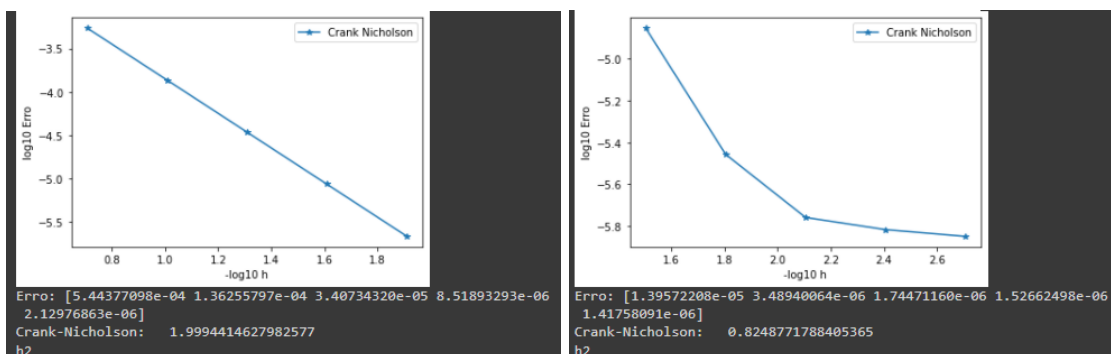


Figura 15: Discretização Crank-Nicolson para 16,32,64,128,256 e 100,200,400,800,1600 elementos